

УДК 532.526

## МОДЕЛЬНАЯ ЗАДАЧА О ВНЕЗАПНОМ ДВИЖЕНИИ ЛИНИИ ТРЕХФАЗНОГО КОНТАКТА

В. В. Пухначев, И. Б. Семенова

Институт гидродинамики им. М. А. Лаврентьева СО РАН, 630090 Новосибирск

Гидродинамические задачи, связанные с течениями жидкостей с линиями трехфазного контакта (например, твердое тело — жидкость — газ или твердое тело и две несмешивающиеся жидкости), представляют особый интерес. В последние годы большое внимание уделялось стационарным и квазистационарным течениям. Существенно нестационарные задачи подобного рода практически не рассматривались. В данной работе изучается модельная задача, связанная с резко нестационарным движением конечного объема вязкой несжимаемой жидкости с линией трехфазного контакта. Статический краевой угол предполагается прямым, а начальная свободная поверхность жидкости — цилиндрической. Внезапно одна из плоскостей начинает движение навстречу другой с постоянной конечной скоростью. Рассматриваются течения с большими числами Рейнольдса и малыми капиллярными числами. Массовые силы в задаче не учитываются. Основной результат работы состоит в построении формальной асимптотики решения на малых временах.

**1. Постановка задачи.** Рассматривается модельная задача о резко нестационарном движении конечного объема вязкой несжимаемой жидкости, заключенной между двумя бесконечными твердыми плоскостями, в начальный момент времени покоящимися на расстоянии  $2a$  друг от друга. Статический краевой угол (т. е. угол подхода свободной границы к твердой) принимается равным  $\pi/2$ , а свободная поверхность жидкости предполагается цилиндрической (в сечении окружность с радиусом  $b$ ). Внезапно одна из плоскостей начинает двигаться навстречу другой с постоянной скоростью  $V$ . Рассматриваются течения с большими числами Рейнольдса  $Re$  и малыми капиллярными числами  $Ca$  (например, для воды при комнатной температуре и значениях параметров  $a = b = 10$  см,  $V = 10$  см/с имеем  $Re = Va/\nu = 10^4$ ,  $Ca = \rho\nu V/\sigma = 1,33 \cdot 10^{-3}$ , где  $\nu$  — кинематический коэффициент вязкости жидкости;  $\sigma$  — коэффициент поверхностного натяжения;  $\rho$  — плотность жидкости). Выбор цилиндрической свободной поверхности позволяет использовать в специально выделенной центральной области течения решение Л. В. Овсянникова [1], полученное им для аналогичной задачи в случае идеальной несжимаемой жидкости. (Широкий класс точных решений уравнений Эйлера, найденный Л. В. Овсянниковым, изучен в работах [2, 3].) В работе [4] замечено, что соответствующее решение Овсянникова удовлетворяет условиям на свободной границе и для случая вязкой несжимаемой жидкости. Это дает основания считать, что нестационарный пограничный слой вблизи свободной поверхности не возникает. Аналогичная задача для нестационарного пограничного слоя вблизи твердых плоскостей в отсутствие свободных границ решена Блазиусом [5]. Решение, аналогичное его решению, можно использовать в данной задаче для областей, непосредственно примыкающих к твердой границе и удаленных от свободной. Таким образом, задача фактически сводится к определению движения в области, расположенной в непосредственной близости как от

Работа выполнена при финансовой поддержке Российского фонда фундаментальных исследований (код проекта 97-01-00818).

твердой, так и от свободной границы, т. е. в окрестности линии трехфазного контакта. Возникающее течение считается осесимметричным. Дополнительно предполагается, что массовые силы отсутствуют.

Вводится цилиндрическая система координат  $(r, \theta, z)$ , где ось  $z$  направлена по оси жидкого цилиндра. С учетом сделанных предположений уравнения Навье — Стокса в цилиндрической системе координат имеют вид [6]

$$\frac{\partial v_r}{\partial t} + v_r \frac{\partial v_r}{\partial r} + v_z \frac{\partial v_r}{\partial z} = -\frac{1}{\rho} \frac{\partial p}{\partial r} + \nu \left( \frac{\partial^2 v_r}{\partial r^2} + \frac{\partial^2 v_r}{\partial z^2} + \frac{1}{r} \frac{\partial v_r}{\partial r} - \frac{v_r}{r^2} \right); \quad (1.1)$$

$$\frac{\partial v_z}{\partial t} + v_r \frac{\partial v_z}{\partial r} + v_z \frac{\partial v_z}{\partial z} = -\frac{1}{\rho} \frac{\partial p}{\partial z} + \nu \left( \frac{\partial^2 v_z}{\partial r^2} + \frac{\partial^2 v_z}{\partial z^2} + \frac{1}{r} \frac{\partial v_z}{\partial r} \right); \quad (1.2)$$

$$\frac{\partial v_r}{\partial r} + \frac{\partial v_z}{\partial z} + \frac{v_r}{r} = 0, \quad (1.3)$$

где  $v_r$  — компонента вектора скорости в направлении изменения радиуса  $r$ ;  $v_z$  — компонента вектора скорости в направлении изменения оси  $z$ ;  $p$  — давление в жидкости;  $t$  — время.

Уравнение неразрывности (1.3) позволяет ввести функцию тока Стокса  $\psi$  так, что  $v_r = \partial\psi/(r\partial z)$ ,  $v_z = -\partial\psi/(r\partial r)$ . После исключения давления путем перекрестного дифференцирования из уравнений (1.1), (1.2) следует уравнение

$$\frac{\partial \tilde{\Delta}\psi}{\partial t} = \nu \tilde{\Delta}\tilde{\Delta}\psi + \frac{1}{r} \frac{\partial\psi}{\partial r} \frac{\partial \tilde{\Delta}\psi}{\partial z} - \frac{1}{r} \frac{\partial\psi}{\partial z} \frac{\partial \tilde{\Delta}\psi}{\partial r} + \frac{2}{r^2} \tilde{\Delta}\psi \frac{\partial\psi}{\partial r}, \quad (1.4)$$

где  $\tilde{\Delta} = \partial^2/\partial r^2 - \partial/(r\partial r) + \partial^2/\partial z^2$  — оператор Стокса. Теперь это уравнение рассматривается в непосредственной близости от твердой границы, но в отдалении от свободной границы (так, чтобы временно можно было не учитывать ее влияние). В соответствии с [5] при движении, возникающем из состояния покоя, член  $\nu \tilde{\Delta}\tilde{\Delta}\psi$  в первый момент времени, когда пограничный слой еще очень тонок (толщина пограничного слоя  $\delta \sim \sqrt{\nu t}$ ), имеет доминирующее значение, в то время как вклад конвективных членов в величину ускорения является малым. Тогда указанный член уравновешивается нестационарным локальным ускорением  $\partial\tilde{\Delta}\psi/\partial t$  и уравнение (1.4) можно асимптотически упростить:

$$\frac{\partial \tilde{\Delta}\psi}{\partial t} = \nu \tilde{\Delta}\tilde{\Delta}\psi. \quad (1.5)$$

В этой области его приближенное решение можно искать по аналогии с асимптотическим решением Блазиуса [5] в виде  $\psi_m = \sqrt{\nu t r^2} c f(z/\sqrt{\nu t}) + O(Vt/a)$ . Подстановка этого представления функции тока в (1.5) дает обыкновенное дифференциальное уравнение четвертого порядка для функции  $f(\zeta)$

$$-\frac{1}{2} f^{\text{II}} - \frac{\zeta}{2} f^{\text{III}} = f^{\text{IV}} \Leftrightarrow -\left(\frac{\zeta}{2} f^{\text{II}}\right)^{\text{I}} = f^{\text{IV}},$$

где  $\zeta = z/\sqrt{\nu t}$ . Его интегрирование даст  $f^{\text{III}} + (\zeta/2)f^{\text{II}} = c_1$ , где  $c_1$  — некоторая константа. Но так как на твердой стенке должны выполняться условия прилипания, из которых следуют условия  $f(0) = f^{\text{I}}(0) = 0$ , и, кроме того, должно быть выполнено условие на бесконечности  $f^{\text{I}} \rightarrow 1$  при  $\zeta \rightarrow \infty$ , то  $c_1 = 0$  и указанное уравнение имеет единственное решение

$$f(\zeta) = \frac{1}{2\sqrt{\pi}} \int_0^\zeta dl \int_0^l \exp\left(-\frac{m^2}{4}\right) dm.$$

В данном представлении осталась неопределенной константа  $c$ . Рассматривая течение в центральной области цилиндра, т. е. в области, не примыкающей к твердым границам, правомерно использовать решение Л. В. Овсянникова [1], полученное им для аналогичной задачи с идеальной жидкостью. (Основные различия между этими задачами возникают именно в окрестности твердой стенки, где для идеальной жидкости ставится условие непротекания, а для вязкой — условие прилипания.) В соответствии с его решением, если критическая точка находится в центре симметрии, то поле скоростей имеет вид

$$v_r = \frac{Vr}{2a(1 - Vt/a)}, \quad v_z = -\frac{Vz}{a(1 - Vt/a)}.$$

Если ввести новую координату  $z' = z + a(1 - Vt/a)$  (радиус остается прежним:  $r' = r$ ), то нижней плоскости соответствует  $z' = 0$ . Тогда в новых координатах, связанных с нижней плоскостью,  $v_r = v_{r'} = Vr'/(2a(1 - Vt/a))$ ,  $v_z = -Vz'/(a(1 - Vt/a)) + V = v_{z'} + V$  и при  $t = 0$   $v_{r'} = Vr'/(2a)$ ,  $v_{z'} = -Vz'/a$ , откуда функция тока  $\psi = V(r')^2 z'/(2a)$ . Теперь, для того чтобы связать между собой решения Овсянникова и Блазиуса, выбирается ранее неопределенная константа  $c = V/(2a)$ . Тогда

$$\psi_m = \sqrt{\nu t} \frac{Vr^2}{2a} \frac{1}{2\sqrt{\pi}} \int_0^\zeta dl \int_0^l \exp\left(-\frac{m^2}{4}\right) dm, \quad (1.6)$$

где  $\psi_m$  — главный член в разложении функции тока основного течения при  $t \rightarrow 0$ .

Найденное решение  $\psi_m$  теряет силу в малой окрестности линии трехфазного контакта по двум причинам. Во-первых, решение, полученное по аналогии с решением Блазиуса, как сказано выше, не согласуется с условиями на свободной поверхности. Во-вторых, попытка продолжить решение вплоть до движущейся линии контакта с сохранением условий прилипания приводит к расхождению интеграла Дирихле [7, 8]. Это означает, что скорость диссипации кинетической энергии в жидкости бесконечна и решение не имеет физического смысла. Таким образом, следует отдельно рассматривать малую окрестность линии трехфазного контакта и искать в ней соответствующее решение.

С этой целью рассматривается окрестность линии контакта размером  $\delta = \sqrt{\nu t}$ , имеющим порядок толщины пограничного слоя. Вводятся локальные координаты  $y = z$ ,  $x = r - b(1 - Vt/a)^{-1/2}$ . Из автомодельности главного члена в асимптотическом разложении (1.6) следует естественная гипотеза о локальной автомодельности свободной поверхности и течения в выбранной области, из которой, в свою очередь, следует, что в первом приближении уравнение свободной поверхности в терминах  $(x, y)$  имеет вид

$$F(\xi, \eta) = 0, \quad (1.7)$$

где  $\xi = x/\sqrt{\nu t}$ ;  $\eta = y/\sqrt{\nu t}$ . Подстановка (1.7) в кинематическое условие на свободной поверхности [6] дает

$$-\frac{1}{2t} \left( \xi \frac{\partial F}{\partial \xi} + \eta \frac{\partial F}{\partial \eta} \right) + \frac{1}{\sqrt{t}} \left( v_x \frac{\partial F}{\partial \xi} + v_y \frac{\partial F}{\partial \eta} \right). \quad (1.8)$$

Предположим, что компоненты скорости  $v_x = v_r - Vb/(2a)(1 - Vt/a)^{-3/2}$  и  $v_y = v_z - V$  ограничены вблизи линии контакта. Тогда для малых значений  $t$  можно пренебречь вторым слагаемым в (1.8). В результате функция  $F$  будет зависеть только от  $\theta_p = \arctg(\eta/\xi)$ . Из равенства (1.7) следует, что  $\theta_p = \text{const}$  — уравнение свободной поверхности. Но в пределе при  $r_p = \sqrt{\xi^2 + \eta^2} \rightarrow \infty$  меридиональное сечение свободной поверхности становится прямой вертикальной линией. Таким образом, в полярных координатах  $r_p$  и  $\theta_p$  равенство

(1.7) дает  $\theta_p = \pi/2$ . Это означает, что при малых  $t$  свободная граница остается близкой к цилиндрической поверхности радиуса  $R(t) = b(1 - Vt/a)^{-1/2}$  включая саму зону контакта.

Очевидно, что в первом приближении в рассматриваемой окрестности линии контакта шириной порядка  $\sqrt{\nu t}$  можно пренебречь кривизной самой линии и рассматривать в ней течение как плоское. В декартовых координатах  $(x, y)$  уравнение Стокса (1.5) записывается в виде

$$\frac{\partial \Delta \tilde{\psi}}{\partial t} = \nu \Delta \Delta \tilde{\psi}, \quad (1.9)$$

где  $\Delta$  — оператор Лапласа;  $\tilde{\psi}$  — функция тока, определенная так, что  $v_x = \partial \tilde{\psi} / \partial y$  и  $v_y = -\partial \tilde{\psi} / \partial x$  — соответствующие компоненты скорости.

Уравнение (1.9) имеет частное решение  $\tilde{\psi}$ , не зависящее от  $x$ :  $\tilde{\psi}_p = \sqrt{\nu t} c_2 g(y/\sqrt{\nu t})$ , которое важно для согласования с главным членом разложения функции тока основного потока. Из подстановки этого выражения в (1.9) следует уравнение для функции  $g(\eta)$ :  $g^{\text{III}} + g^{\text{II}} \eta / 2 = 0$ , которое совпадает с уравнением для функции  $f$ , рассмотренным ранее. Из условий прилипания на твердой границе, а также условия на бесконечности  $g^{\text{I}} \rightarrow 0$ ,  $\eta \rightarrow \infty$  находим

$$\tilde{\psi}_p = \sqrt{\nu t} \frac{Vb}{2a} \left( \frac{1}{2\sqrt{\pi}} \int_0^\eta \tilde{a} \tilde{t} \int_0^l \exp\left(-\frac{m^2}{4}\right) dm - \eta \right). \quad (1.10)$$

Константа  $c_2 = Vb/(2a)$  выбрана из соображений согласования с основным потоком.

Следующим шагом ищется асимптотическое решение

$$\tilde{\psi} = \sqrt{\nu t} \Phi(\xi, \eta) + O(t) \quad (1.11)$$

при  $t \rightarrow 0$  уравнения (1.9), записываемого в виде

$$\Delta \Delta \Phi + \frac{1}{2} \left( \xi \frac{\partial \Delta \Phi}{\partial \xi} + \eta \frac{\partial \Delta \Phi}{\partial \eta} + \Delta \Phi \right) = 0. \quad (1.12)$$

При выводе граничных условий для  $\Phi$  используется тот факт, что граничным условиям как на твердой границе, так и на свободной должен удовлетворять «полный» поток, в котором учитываются все три компоненты  $\psi_m, \tilde{\psi}_p, \tilde{\psi}$ .

Кинематическое условие на свободной границе (в системе координат  $(x, y)$  или  $(\xi, \eta)$ , связанной со свободной границей) [6] имеет вид

$$(\tilde{\psi}_p + \tilde{\psi})_y + \tilde{v}_r = 0 \quad \text{при } x = 0 \quad (\xi = 0),$$

где  $\tilde{v}_r$  — радиальная компонента скорости основного потока, записанная в координатах  $(x, y)$ . В соответствии с (1.6), (1.10) и (1.11) последнее условие переписывается следующим образом:

$$\sqrt{\nu t} i y \eta \frac{1}{\sqrt{\nu t}} + \sqrt{\nu t} \Phi_\eta \frac{1}{\sqrt{\nu t}} + \frac{Vb}{2a} \frac{1}{2\sqrt{\pi}} \int_0^\eta \exp\left(-\frac{m^2}{4}\right) dm = 0.$$

Подставив в него выражение для  $g_\eta$ :

$$\Phi_\tau \Big|_{\xi=0} = \frac{Vb}{2a} - \frac{Vb}{2a} \frac{1}{\sqrt{\pi}} \int_0^\eta \exp\left(-\frac{m^2}{4}\right) dm$$

и проинтегрировав это соотношение по  $\eta$ , получим

$$\Phi \Big|_{\xi=0} = \frac{Vb}{2a} \left( \eta - \frac{1}{\sqrt{\pi}} \int_0^\eta \tilde{a} \tilde{t} \int_0^l \exp\left(-\frac{m^2}{4}\right) dm \right). \quad (1.13)$$

Общий вид динамического условия на свободной границе

$$(p_a - p)\mathbf{n} + 2\rho\nu D \cdot \mathbf{n} = 2\sigma H\mathbf{n}, \quad (1.14)$$

где  $\mathbf{n}$  — единичная нормаль к свободной поверхности;  $D = (\nabla\mathbf{v} + (\nabla\mathbf{v})^*)/2$  — тензор скоростей деформации;  $H$  — средняя кривизна поверхности;  $p_a$  — атмосферное давление. В данном случае в соответствии с (1.11) нормальное напряжение  $-p + 2\rho\nu\partial v_x/\partial x$  имеет порядок  $1/\sqrt{t}$  при  $t \rightarrow 0$ ; в соответствии с (1.7) капиллярное давление  $\sigma H$  имеет тот же порядок. Их отношение пропорционально капиллярному числу  $Ca$ , которое предполагается малым. Следовательно, проекция левой части (1.14) на нормаль к свободной поверхности будет величиной  $O(Ca)$ . В свою очередь, касательные напряжения дадут

$$\frac{\partial^2(\tilde{\psi} + \tilde{\psi}_p)}{\partial y^2} - \frac{\partial^2(\tilde{\psi} + \tilde{\psi}_p)}{\partial x^2} + \tilde{P}_{rz} = 0 \quad \text{при} \quad \xi = 0,$$

где  $\tilde{P}_{rz}$  — касательное напряжение, соответствующее основному потоку. С учетом формул (1.6), (1.10) и (1.11) это равенство переписывается в виде

$$\frac{1}{\sqrt{\nu t}}\Phi_{\xi\xi} + \frac{1}{\sqrt{\nu t}}(g_{\eta\eta} + \Phi_{\eta\eta}) + \frac{1}{\sqrt{\nu t}}\frac{Vb}{2a}\frac{1}{2\sqrt{\pi}}\exp\left(-\frac{\eta^2}{4}\right) = 0.$$

Подставив сюда выражения для  $g_{\eta\eta}$  и  $\Phi_{\eta\eta}$ , получим

$$\Delta\Phi = \Phi_{\xi\xi} + \Phi_{\eta\eta} = g_{\eta\eta} + 2\Phi_{\eta\eta} + \frac{Vb}{2a}\frac{1}{2\sqrt{\pi}}\exp\left(-\frac{\eta^2}{4}\right) = -\frac{Vb}{2a}\frac{1}{\sqrt{\pi}}\exp\left(-\frac{\eta^2}{4}\right). \quad (1.15)$$

Для завершения постановки краевой задачи для уравнения (1.12) следует выписать условия на твердой границе. В соответствии с результатами, полученными в [7, 8], не следует требовать выполнения условий прилипания на всей твердой границе. (Как сказано выше, это может привести к расхождению интеграла Дирихле, т. е. к бесконечной скорости диссипации кинетической энергии в жидкости, и потере физического смысла решения.) В соответствии с этим граница  $\eta = 0$  разбивается на две части:  $0 < \xi < \xi_s$  и  $\xi \geq \xi_s$ , где  $\xi_s$  — малый параметр. Условия прилипания ставятся лишь на второй (большей) части границы (они уже использовались при выводе  $\psi_m$  и  $\tilde{\psi}_p$ ):

$$\Phi = 0, \quad \Phi_{\eta} = 0 \quad \text{при} \quad \eta = 0, \quad \xi \geq \xi_s. \quad (1.16)$$

На первой части границы условие  $\Phi = 0$  сохраняется, а вместо второго используется условие идеального проскальзывания [7], дающее

$$\Phi_{\eta\eta} = -\frac{1}{\sqrt{\pi}}\frac{Vb}{2a}.$$

С учетом того что  $\Phi_{\xi\xi} = 0$ , условия на первой части границы имеют вид

$$\Phi = 0, \quad \Delta\Phi = -\frac{1}{\sqrt{\pi}}\frac{Vb}{2a} \quad \text{при} \quad \eta = 0, \quad 0 < \xi < \xi_s. \quad (1.17)$$

(Выбор условия идеального проскальзывания из различных условий проскальзывания [7] сделан с целью согласования с гипотезой локальной автомодельности течения вблизи движущейся линии контакта.) Итак, математическая задача (1.12), (1.13), (1.15)–(1.17) поставлена. Ниже эта задача решается численно.

**2. Численное решение.** Ввиду некомпактности области течения и особенности в коэффициентах при  $r = 0$  задача (1.12), (1.13), (1.15)–(1.17) численно решается в четверти кольца:  $0 \leq \arctg(\eta/\xi) \leq \pi/2$ ,  $R_s^2 \leq \xi^2 + \eta^2 \leq R_b^2$ , где  $R_s$  и  $R_b$  выбраны специальным

образом (см. ниже). Для удобства численного решения в выделенной области задача переписывается в полярных координатах  $r_p = \sqrt{\xi^2 + \eta^2}$ ,  $\theta_p = \text{arctg}(\eta/\xi)$ , в которых выбранный сектор разворачивается в прямоугольник:

$$\Delta\Phi = -\omega; \quad (2.1)$$

$$\Delta\omega + \frac{1}{2} \left( r_p \frac{\partial\omega}{\partial r_p} + \omega \right) = 0, \quad (2.2)$$

где  $\omega$  — завихренность. Граничные условия в новых терминах имеют вид:

— при  $\theta_p = \pi/2$

$$\Phi = r_p - \frac{1}{\sqrt{\pi}} \int_0^{r_p} dl \int_0^l \exp\left(-\frac{m^2}{4}\right) dm, \quad \omega = \frac{1}{\sqrt{\pi}} \exp\left(-\frac{r_p^2}{4}\right); \quad (2.3)$$

— при  $\theta_p = 0$

$$\Phi = 0, \quad \Phi_{\theta_p} = 0 \quad \text{при } r_p > r_s, \quad \omega = 1/\sqrt{\pi} \quad \text{при } r_p \leq r_s. \quad (2.4)$$

(Так как множитель  $Vb/(2a)$  присутствует во всех граничных условиях, то его можно временно опустить.)

На специально введенных границах  $r_p = R_s$  и  $r_p = R_b$  ставятся следующие условия.

При  $r_p = R_s$  ищется решение в виде решения Моффатта [9]:  $\Phi = \sum_{k=1}^{\infty} r_p^k h_k(\theta_p)$ . В исходном

уравнении (2.2) в силу малости 2-го и 3-го членов в его левой части при  $r_p \rightarrow 0$  можно пренебречь всеми членами, кроме  $\Delta\omega$ . Фактически ищется решение приближенного уравнения  $\Delta\Delta\Phi = 0$ , где  $\Delta = \partial^2/\partial r_p^2 + \partial/(r_p \partial r_p) + \partial^2/(r_p^2 \partial \theta_p^2)$  — оператор Лапласа в полярных координатах. Для однозначной разрешимости полученного уравнения в качестве краевых условий используется непрерывность значений  $\Phi$  и  $\omega$  в точках «стыковки», т. е.

$$\begin{aligned} \Phi|_{\theta_p=\pi/2}(R_s) &= \Phi|_{r_p=R_s}\left(\frac{\pi}{2}\right), & \Phi|_{\theta_p=0}(R_s) &= \Phi|_{r_p=R_s}(0), \\ \omega|_{\theta_p=\pi/2}(R_s) &= \omega|_{r_p=R_s}\left(\frac{\pi}{2}\right), & \omega|_{\theta_p=0}(R_s) &= \omega|_{r_p=R_s}(0). \end{aligned}$$

Это позволяет с точностью до малых величин порядка  $r_p^4$  записать условие при  $r_p = R_s$  в виде

$$\Phi = r_p^2 \left( \frac{1}{4\sqrt{\pi}} \cos 2\theta_p - \frac{1}{4\sqrt{\pi}} \right), \quad \omega \equiv \frac{1}{\sqrt{\pi}} \left( 1 - \frac{r_p^2}{4} \right). \quad (2.5)$$

Величина радиуса  $R_b$  выбирается так, чтобы на ней были справедливы условия, выполнение которых предполагается для достаточно больших  $r_p$ , а именно:

1) обе компоненты скорости  $\partial\Phi/\partial\xi$  и  $\partial\Phi/\partial\eta$  и завихренность  $\omega$  стремятся к нулю при  $r_p \rightarrow \infty$ ;

2) после введения обозначения  $\chi(r_p) = \Phi|_{\theta_p=\pi/2} = r_p - (1/\sqrt{\pi}) \int_0^{r_p} dl \int_0^l \exp(-m^2/4) dm$

и проведения дифференцирования  $\partial\chi(r_p)/\partial r_p = 1 - (1/\sqrt{\pi}) \int_0^{r_p} \exp(-m^2/4) dm = 1 - (1/\sqrt{\pi}) \left( \int_0^{\infty} \exp(-m^2/4) dm - \int_{r_p}^{\infty} \exp(-m^2/4) dm \right) = (1/\sqrt{\pi}) \int_{r_p}^{\infty} \exp(-m^2/4) dm > 0$  при всех



$r_p > 0$  обнаруживается, что  $\chi(r_p)$  — монотонная неубывающая функция, причем при  $r_p \gg 1$   $\chi(r_p) \approx c_3 > 0$ . (Численно определено, что  $c_3 \approx 1,13$ .)

Таким образом, при соответственно выбранном  $R_b$  должно быть выполнено условие

$$\omega = 0, \quad \frac{\partial \Phi}{\partial n} = \frac{\partial \Phi}{\partial r_p} = 0, \quad (2.6)$$

где  $n$  — внешняя нормаль к границе, что должно давать согласованность в точках «стыковки»:

$$\begin{aligned} \omega|_{\theta_p=\pi/2}(R_b) &= \omega|_{r_p=R_b}\left(\frac{\pi}{2}\right), & \omega|_{\theta_p=0}(R_b) &= \omega|_{r_p=R_b}(0), \\ \Phi|_{\theta_p=\pi/2}(R_b) &= c_3, & \Phi|_{\theta_p=0}(R_b) &= 0, & \frac{\partial \Phi}{\partial n}|_{\theta_p=0}(R_b) &= \frac{\partial \Phi}{\partial n}|_{r_p=R_b}(0). \end{aligned}$$

Таким образом, задача для численного решения (2.1)–(2.6) поставлена. Следует отметить, что для функции тока  $\Phi$  выбраны условия на всех четырех границах: на трех — условия Дирихле, на одной ( $R_p = R_b$ ) — условие Неймана. Для завихренности  $\omega$  условия Дирихле поставлены на трех границах. На четвертой же ( $\theta_p = 0$ ) условие Дирихле выполняется при  $r_p \leq r_s$ , а при  $r_p > r_s$  граничное условие будет получено из условий для  $\Phi$  в процессе численного решения с использованием формулы Тома [10].

Так как наибольший интерес представляет область, примыкающая к началу координат, производится переход к логарифмическим координатам  $\gamma = \ln r_p$ ,  $\theta_p$  не меняется (что соответствует переходу к неравномерной сетке с более мелкими ячейками в интересующей области). При этом уравнения принимают вид

$$\exp(-2\gamma) \left( \frac{\partial^2 \Phi}{\partial \gamma^2} + \frac{\partial^2 \Phi}{\partial \theta_p^2} \right) = -\omega; \quad (2.7)$$

$$\exp(-2\gamma) \left( \frac{\partial^2 \omega}{\partial \gamma^2} + \frac{\partial^2 \omega}{\partial \theta_p^2} \right) + \frac{1}{2} \left( \frac{\partial \omega}{\partial \gamma} + \omega \right) = 0, \quad (2.8)$$

а граничные условия

$$\begin{aligned} \Phi|_{\theta_p=\pi/2} &= \exp(\gamma) - \frac{1}{\sqrt{\pi}} \int_0^{\exp(\gamma)} dl \int_0^l \exp\left(-\frac{m^2}{4}\right) dm, & \omega|_{\theta_p=\pi/2} &= \frac{1}{\sqrt{\pi}} \exp\left(-\frac{\exp(2\gamma)}{4}\right), \\ \Phi|_{\theta_p=0} &= 0, & \gamma > \gamma_{sl} : \Phi|_{\theta_p=0} &= 0, & \gamma \leq \gamma_{sl} : \omega|_{\theta_p=0} &= \frac{1}{\sqrt{\pi}}, \\ \Phi|_{\gamma=\gamma_s} &= \exp(2\gamma) \left( \frac{1}{4\sqrt{\pi}} \cos 2\theta_p - \frac{1}{4\sqrt{\pi}} \right), & \omega|_{\gamma=\gamma_s} &= \frac{1}{\sqrt{\pi}}, & \frac{\partial \Phi}{\partial \gamma}|_{\gamma=\gamma_b} &= 0, & \omega|_{\gamma=\gamma_b} &= 0. \end{aligned} \quad (2.9)$$

Поставленная задача (2.7)–(2.9) решается методом установления (т. е. вводится фиктивное время) с использованием схемы Писмана — Рэкфорда путем расщепления уравнений по направлениям с шаблоном «крест». Выведенные таким образом разностные уравнения для  $\Phi$  и  $\omega$  имеют первый порядок аппроксимации по фиктивному времени и второй по пространственным координатам. Полученная схема абсолютно устойчива. Все четыре разностных уравнения решаются трехдиагональной прогонкой. Условие диагонального преобладания выполняется автоматически для уравнений для  $\Phi$ , а для  $\omega$  — при достаточно малом шаге по  $\gamma$ . Для вычисления двойных интегралов вероятности (использующихся в условии на свободной границе и при выведении  $\psi_m$  и  $\tilde{\psi}_p$ ) применяется метод трапеций.

**3. Результаты расчетов.** Результаты численных расчетов представлены на рис. 1–4 (для их получения была составлена программа на языке PASCAL, насчитанные массивы данных изображались графически с использованием пакета SURFER фирмы GOLDEN

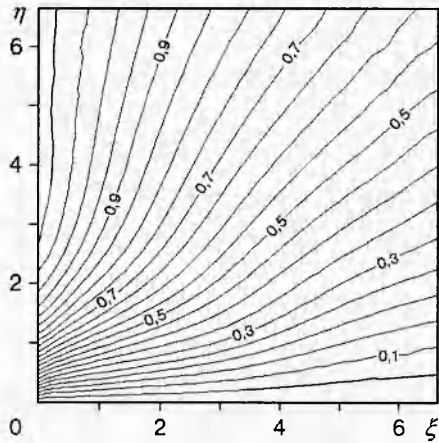


Рис. 1

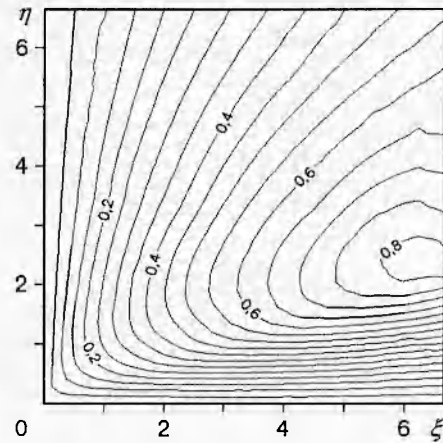


Рис. 2

SOFTWARE). На рис. 1 показаны изолинии расчетной функции тока  $\Phi$  на плоскости декартовой системы координат  $(\xi, \eta)$ , связанной с движущейся линией контакта. На рис. 2 представлены изолинии полной функции тока (т. е. учтены все три компоненты  $\Phi, \bar{\psi}_p, \psi_m$ ) на плоскости  $(\xi, \eta)$ . На рис. 3 изображены изолинии расчетной завихренности  $\omega = -\Delta\Phi(\xi, \eta)$ , а на рис. 4 — полной завихренности (т. е. с учетом вклада завихренностей, соответствующих  $\bar{\psi}_p, \psi_m$ ) в той же системе координат.

Расчеты показали, что в области численного исследования расчетная завихренность  $\omega$  нигде не меняет знака и является неотрицательной. Исходя из этого предлагается гипотеза о том, что  $\omega$  неотрицательна на всей четверти плоскости  $0 \leq r_p < \infty, 0 \leq \theta_p \leq \pi/2$ . Для подтверждения предложенной гипотезы вводится новая функция  $u(r_p, \theta_p)$ , такая что  $\omega(r_p, \theta_p) = \exp(-r_p^2/4)u(r_p, \theta_p)$ , после чего исходные уравнения (2.1), (2.2) переписутся в виде

$$\Delta\Phi = -\exp\left(-\frac{r_p^2}{4}\right)u(r_p, \theta_p); \quad (3.1)$$

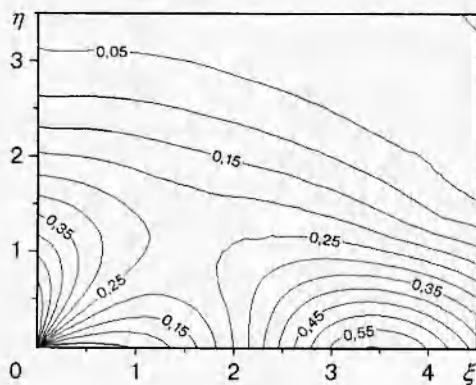


Рис. 3

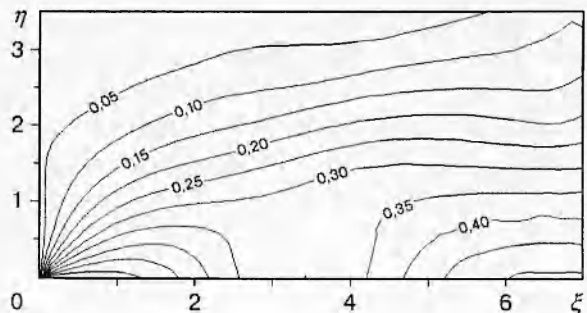


Рис. 4



$$\Delta u - \frac{1}{2} \left( r_p \frac{\partial u}{\partial r_p} + u \right) = 0. \quad (3.2)$$

Уравнение (3.2) является эллиптическим, так же как и уравнение (2.2), но в отличие от последнего удовлетворяет принципу максимума [11]. Граничные условия на твердой и свободной границах для  $\omega(r_p, \theta_p)$  (2.3), (2.4) дают соответственно условия для  $u(r_p, \theta_p)$ :

$$u = \frac{1}{\sqrt{\pi}} \quad \text{при} \quad \theta_p = \frac{\pi}{2}, \quad u = \frac{1}{\sqrt{\pi}} \exp\left(\frac{r_p^2}{4}\right) \quad \text{при} \quad \theta_p = 0, \quad r_p \leq r_s$$

(при  $r_p > r_s$  условие для  $u$  находится из условий для  $\Phi$  в процессе численного решения по формуле Тома, при этом значения  $u$  для  $r_p > r_s$  оказываются положительными). Предположение о неотрицательности  $u$ , а также ограниченности  $\omega$  позволяет заключить, что завихренность  $\omega$  экспоненциально убывает при  $r_p \rightarrow \infty$ .

С физической точки зрения выдвинутая гипотеза имеет следующий смысл. В декартовой системе координат  $(x, y)$ , введенной ранее и соответствующей  $(r_p, \theta_p)$ , касательное напряжение  $P_{x,y}$ , связанное с функцией тока  $\Phi$ , может быть переписано следующим образом [6]:

$$P_{x,y} = \rho\nu \left( \frac{\partial^2 \Phi}{\partial y^2} - \frac{\partial^2 \Phi}{\partial x^2} \right) = \rho\nu \left( \frac{\partial^2 \Phi}{\partial y^2} + \frac{\partial^2 \Phi}{\partial x^2} \right) = -\rho\nu\omega$$

при  $y = 0$ , поскольку  $\partial^2 \Phi / \partial x^2 = 0$  ввиду условия  $\Phi = 0$  на стенке. Итак, знакоопределенность  $\omega$  равносильна знакоопределенности соответствующего касательного напряжения  $P_{xy}$ . Причем, если в соответствии с гипотезой во всей области исследования  $\omega \geq 0$ , то  $P_{xy} \leq 0$ , что согласуется с физикой процесса.

В заключение следует отметить, что при варьировании малого параметра задачи  $r_s$  в пределах от 0,0007 до 0,02 качественные результаты не меняются.

**4. Замечания.** Прежде всего, следует оценить безразмерные параметры для типичной ситуации. Если в качестве жидкости выбрать воду при комнатной температуре и  $a = b = 10$  см,  $V = 10$  см/с, то  $Re = 10^4$ ,  $Ca = 1,33 \cdot 10^{-3}$  и число Маха  $M = V/\bar{c} = 6,7 \cdot 10^{-3}$  ( $\bar{c}$  — скорость звука). Это означает, что влияние сжимаемости жидкости пренебрежимо мало для времен порядка  $10^{-4}$  с и больших. Иными словами, влияние сжимаемости жидкости локализуется во времени, в то время как влияние вязкости локализуется в пространстве. Для момента времени  $t = 10^{-4}$  с порядок толщины нестационарного пограничного слоя вблизи твердых границ  $\delta = \sqrt{\nu t} = 10^{-3}$  см, т. е. намного меньше, чем начальная высота жидкого столба.

До этого момента роль гравитации в рассматриваемом процессе не учитывалась. Она важна в случае больших чисел Бонда  $B = \rho \bar{g} a^2 / \sigma$ , где  $\bar{g}$  — ускорение свободного падения. В частности, нельзя пренебречь влиянием гравитации для заданного набора параметров в наземных условиях, хотя существует возможность провести соответствующий эксперимент в условиях практической невесомости. Другая возможность — уменьшить линейный масштаб одновременно с увеличением характерной скорости. Например, если  $a = 0,1$  см и  $V = 30$  см/с, то  $Re = 300$ ,  $Ca = 0,04$  и  $B = 0,13$  для наземных условий.

Следующим важным вопросом является физическая реализация решения Овсянникова. Дело в том, что начальные данные для этого решения не согласуются с распределением скорости, возникающим в результате внезапного движения твердых пластин навстречу друг другу. (Это распределение для плоского аналога задачи получено в [12]; переходный процесс с учетом сжимаемости жидкости для малых времен изучен в [13].) Как отмечено в [12], если отношение  $a/b$  мало, то линейное распределение скорости в начальных данных близко к предсказанному классической теорией гидродинамического удара. Попытка реализовать те же начальные условия для больших значений  $a/b$  приводит к квадратичной

зависимости импульсивного распределения начального давления на боковой границе от вертикальной компоненты (что, вероятно, может быть обеспечено взрывным нагружением жидкости).

Критическим моментом предложенной модели является предположение о том, что угол контакта равен  $\pi/2$ . В противном случае у нас не было бы ни точных решений, описывающих движение идеальной капиллярной жидкости, ни каких-либо результатов, касающихся разрешимости соответствующей начально-краевой задачи для уравнений Эйлера. Однако, если это решение известно (например, численно), можно построить нестационарный осесимметричный пограничный слой вблизи свободной границы жидкого моста, следуя методу, предложенному в [14], где рассматривалась аналогичная плоская задача.

Особая роль значения  $\pi/2$  связана с тем фактом, что при произвольной величине угла контакта решение соответствующей задачи для уравнений Навье — Стокса имеет, вообще говоря, степенную особенность в угловой точке границы [15]. Это обстоятельство требует более детального изучения структуры течения внутри угловой зоны. Свободная часть границы уже не будет асимптотически прямолинейной; вероятно, эта линия на плоскости  $(r, z)$  будет иметь бесконечную кривизну в точке контакта.

Наконец, следует кратко обсудить выбор условия проскальзывания. Гипотеза о локальной автомодельности течения в угловой зоне упрощает наши рассуждения и вместе с тем соответствует автомодельному характеру течения в пограничном слое. В то же время желательно иметь некоторые дополнительные аргументы для рационального выбора малого параметра  $r_s$ . При этом следует учитывать, что при произвольном значении параметра  $r_s$  касательное напряжение на твердой стенке в решении поставленной задачи неограниченно возрастает в точке смены условия прилипания на условие идеального проскальзывания (этот факт следует из результатов статьи [8]). Вместе с тем, согласно [16], специальный выбор указанного параметра позволяет обеспечить ограниченность касательного напряжения.

## ЛИТЕРАТУРА

1. **Овсянников Л. В.** Общие уравнения и примеры // Задача о неустановившемся движении жидкости со свободной границей. Новосибирск: Наука. Сиб. отд-ние, 1967. С. 5–75.
2. **Longuet-Higgins M. S.** A class of exact, time-dependent, free-surface flows // *J. Fluid Mech.* 1972. V. 55. P. 529–543.
3. **Налимов В. И., Пухначев В. В.** Неустановившиеся движения жидкости со свободной границей. Новосибирск: Изд-во Новосиб. ун-та, 1975.
4. **Пухначев В. В.** Неустановившиеся движения вязкой жидкости со свободной границей, описываемые частично-инвариантными решениями уравнений Навье — Стокса // *Динамика сплошной среды: Сб. науч. тр. / АН СССР. Сиб. отд-ние. Ин-т гидродинамики.* 1972. Вып. 10. С. 125–137.
5. **Шлихтинг Г.** Теория пограничного слоя. М.: Наука, 1974.
6. **Кочин Н. Е., Кибель И. А., Розе Н. В.** Теоретическая гидромеханика. М.: Физматгиз, 1963.
7. **Dussan V. E. V., Davis S. H.** On the motion of a fluid — fluid interface along a solid surface // *J. Fluid Mech.* 1974. V. 65. P. 71–95.
8. **Пухначев В. В., Солонников В. А.** К вопросу о динамическом краевом угле // *Прикл. математика и механика.* 1982. Т. 46, № 6. С. 961–971.
9. **Moffatt H. K.** Viscous and resistive eddies near a sharp corner // *J. Fluid Mech.* 1964. V. 18, N 1. P. 1–18.

10. **Тарунин Е. Л.** Вычислительный эксперимент в задачах свободной конвекции. Иркутск: Изд-во Иркут. ун-та, 1990.
11. **Андреев В. К., Белов Ю. Я.** Принцип максимума для уравнений второго порядка эллиптического и параболического типов: Метод. указ. Красноярск: Изд-во Краснояр. ун-та, 1986.
12. **Веклич Н. А., Малышев Б. М.** Плоская задача об ударе о жидкую полосу // Взаимодействие пластин и оболочек с жидкостью и газом: Сб. ст. М.: Изд-во Моск. ун-та, 1984. С. 99–121.
13. **Веклич Н. А.** Удар полосы сжимаемой жидкости о преграду // Изв. АН СССР. Механика жидкости и газа. 1990. № 6. С. 138–145.
14. **Батищев В. А., Срубщик Л. С.** Об асимптотике свободной поверхности жидкости при исчезающей вязкости // Докл. АН СССР. 1975. Т. 222, № 4. С. 782–785.
15. **Solonnikov V. A.** On the Stokes equations in domains with non-smooth boundaries and on viscous incompressible flow with a free surface // Nonlinear PDE and their applications: College de France seminar. Boston: Pitman, 1982. V. 3. P. 340–423.
16. **Байокки К., Пухначев В. В.** Задачи с односторонними ограничениями для уравнений Навье — Стокса и проблема динамического краевого угла // ПМТФ. 1990. № 2. С. 27–40.

*Поступила в редакцию 11/XI 1997 г.*

---